

بررسی تأثیر عوامل زمین‌شناسی مهندسی بر پارامترهای مرتبط با ارزیابی تجربی نشت زمین در اثر حفر تونل ابودر، تهران

محمد رضا باغبان گلپسند، محمد رضا نیکودل*، علی ارومیه‌ای؛
دانشگاه تربیت مدرس، دانشکده علوم، گروه زمین‌شناسی مهندسی

تاریخ: دریافت ۹۳/۷/۱۴ پذیرش ۹۵/۱/۱۸

چکیده

از جمله موضوعات اساسی در ارتباط با تونل‌های کم‌عمق در محیط‌های شهری، نشت زمین در اثر حفر تونل و تأثیر عوامل زمین‌شناسی مهندسی بر آن است. از روش‌های بررسی این مسئله روش تجربی است و پارامترهای تجربی VL و k از جمله مهم‌ترین پارامترهای دخیل در این روش است که مقدار آن‌ها با توجه به خصوصیات زمین‌شناسی و ژئوتکنیکی مصالح تخمين زده می‌شود. در پژوهش حاضر پارامترهایی با توجه به بررسی‌های قبلی محققان مختلف، به صورت فرضی در نظر گرفته شده و نشت زمین در مسیر تونل ابودر براساس این مقادیر فرضی پیش‌بینی شده است. نتایج بدست آمده با نشت واقعی زمین که همزمان با حفاری تونل مذکور اندازه‌گیری شده است، مقایسه شد. با توجه به این‌که نشت واقعی زمین کم‌تر از مقدار پیش‌بینی‌های اولیه بوده است، نتیجه‌گیری شد که VL واقعی کم‌تر از مقدار فرضی است و یا k واقعی بیش‌تر از مقدار فرضی است. با توجه به وابستگی هر دو پارامتر به چسبندگی خاک نتیجه می‌گیریم که باید عاملی باعث افزایش چسبندگی مصالح شده باشد که در این ارتباط سیمانی شدگی طبیعی در آبرفت‌های تهران به عنوان تأییدی بر فرضیه مذکور تلقی شده، در نتیجه این عامل باعث افزایش چسبندگی و کاهش نشت زمین شده است. برای بررسی سیمانی شدگی طبیعی، تفاوت در نتایج آزمایش‌های برجا و آزمایشگاهی برای تعیین پارامترهای مقاومت بررشی، بررسی شده است و چسبندگی زیاد بدست آمده از آزمایش‌های برش برحا نسبت به آزمایش‌های آزمایشگاهی به عنوان شاهدی برای سیمانی شدگی مصالح آبرفتی موجود در مسیر تونل ابودر مورد استناد قرار گرفت.

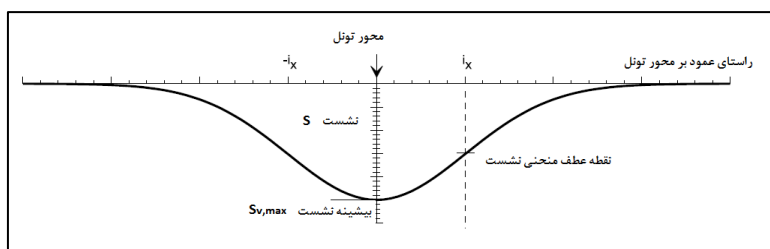
واژه‌های کلیدی نشت زمین، حفر تونل مکانیزه، پارامترهای تجربی VL و k تونل ابودر، سیمانی شدگی طبیعی
*تویسته مسئول nikudelm@modares.ac.ir

مقدمه

حفر تونل در اعماق کم و در زمین‌های خاکی منجر به تغییر سیستم توزیع تنش‌ها و همگرایی دیواره و دهانه تونل شده و باعث ایجاد جابه‌جایی‌های افقی و عمودی در اطراف تونل می‌شود. این جابه‌جایی‌ها در نهایت تغییر شکل‌هایی در سطح زمین ایجاد می‌کند که تحت عنوان پدیده "نشست زمین در اثر حفر تونل" شناخته می‌شود. پدیده مذکور می‌تواند موجب آسیب رساندن به سازه‌های موجود در سطح زمین شود. بنابراین پیش‌بینی و تخمین میزان نشست زمین در اثر حفر تونل به خصوص در محیط‌های شهری که مستقیماً با زندگی مردم در ارتباط است، اهمیت ویژه‌ای دارد. عوامل زیادی می‌توانند بر میزان و نوع نشست زمین در اثر حفر تونل تأثیرگذار باشند که خصوصیات زمین‌شناسی و ژئوتکنیک مصالح یکی از مهم‌ترین این عوامل بهشمار می‌رود. در تحقیق حاضر نشست زمین در اثر حفر تونل ابودر و عوامل مؤثر بر آن بررسی شده است.

نشست زمین در اثر حفر تونل

بررسی‌های نسبتاً زیادی در مورد نشست زمین ناشی از حفر تونل انجام شده است. یکی از اولین و اساسی‌ترین بررسی‌ها در ارتباط با این پدیده را، پک^۱ (۱۹۶۹) با استفاده از اطلاعات حدود ۲۰ مورد اجرایی که در اختیارش بود انجام داد [۱]. طی این بررسی‌ها، شکل گودی نشست در مقطع عرضی با یک منحنی توزیع نرمال تقریب زده می‌شود و حداقل نشست زمین دقیقاً در راستای محور تونل در سطح زمین اتفاق می‌افتد. این منحنی در شکل ۱ نشان داده شده است.



شکل ۱. نمایی کلی از گودی نشست در نیم‌عرضی [۲]

1. Peck

روش پک (۱۹۶۹) از متداول‌ترین و کاربردی‌ترین روش‌های موجود در تحلیل و بررسی پدیده نشست زمین در اثر حفر تونل است. روش‌های متعددی برای بررسی و ارزیابی نشست زمین در اثر حفر تونل پیشنهاد شده است که از جمله متداول‌ترین آن‌ها می‌توان به روش‌های تجربی (نیمه‌تجربی)، روش‌های تحلیلی و روش‌های عددی اشاره کرد. برای انجام تحقیق حاضر از روش‌های تجربی و تحلیلی استفاده شده است. در ارتباط با استفاده نکردن از روش‌های عددی باید اشاره کرد که ضمن تأکید بر کارایی این روش‌ها در تحلیل اغلب قریب به اتفاق مسائل ژئوتکنیک از جمله ارزیابی نشست زمین در اثر حفر تونل و انجام تحقیقات وسیع در این خصوص، مدل کردن پارامترهای تجربی VL و k، که موضوع اصلی تحقیق حاضر هستند، با استفاده از روش‌های عددی با عدم قطعیت‌هایی همراه است. با در نظر گرفتن این مسئله و با توجه به این‌که تاکنون بررسی‌های نسبتاً اندکی در خصوص روش‌های تجربی و تحلیلی، به‌ویژه با رویکرد تأثیر شرایط زمین‌شناسی مهندسی مسیر تونل و مصالح موجود در آن بر نشست زمین ناشی از حفر تونل انجام شده است، در پژوهش حاضر از روش‌های تجربی و تحلیلی استفاده شده است.

تحلیل نشست به روش تجربی

اساس این روش بر پژوهش‌های پک استوار است و با توجه به مشاهدات عینی به دست آمده است. از جمله این پژوهش‌ها می‌توان به بررسی‌های اُریلی و نیو [۳]، همچنین تحقیقات آتلول و وودمن [۴]، آتلول و همکاران [۵]، که همگی برای تأیید و تکمیل کارهای پک بوده است، اشاره کرد. طبق نظر پک مقدار نشست در هر نقطه به فاصله X از محور طولی تونل و عمود بر آن را می‌توان از رابطه (۱) محاسبه کرد. پارامترهای موجود در این رابطه در شکل ۱ نشان داده شده است.

$$S = S_{V_{\max}} \cdot \exp\left(\frac{-x^2}{2i_x^2}\right) \quad (1)$$

S: نشست سطحی در نقطه‌ای به فاصله X از محور تونل، $S_{V_{\max}}$: حداکثر نشست در $X=0$ و i_x : فاصله محل نقطه عطف یا بیشترین شب منحنی نشست از محور تونل است.

تعیین حداکثر نشست

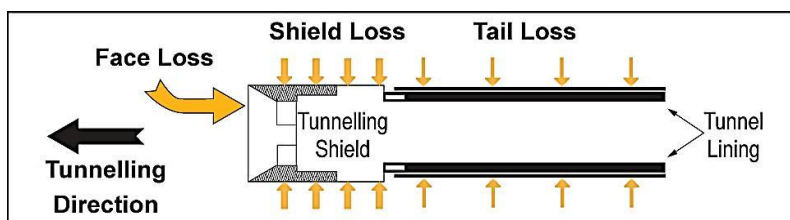
رابطه (۲) را اریلی و نیو [۳] برای محاسبهٔ حداکثر نشست سطحی ارائه کردند و میر [۶] نیز بر آن تأکید کرده است:

$$S_{max} = 0.313V_L(D^2/kz) \quad (2)$$

که در این رابطه D و z به ترتیب عبارتند از قطر و عمق تونل. همچنین در رابطهٔ مذکور VL افت زمین و k ثابت هندسی و بدون بعد گودی نشست هستند. پارامترهای VL و k با عنوان پارامترهای مرتبط با بررسی تجربی نشست زمین خوانده می‌شوند. در ادامه توضیحات مفصل‌تری در ارتباط با این پارامتر ارائه می‌شود.

افت زمین (VL)

در احداث تونل، مقدار خاکی که در اثر حفاری از تونل به بیرون منتقل می‌شود از مقداری خاکی که معرف حجم تئوری تونل است، زیادتر است. این مقدار اضافی حفاری تحت عنوان افت زمین یا حجم از دست رفته^۱ نامیده می‌شود. این پارامتر یکی از عوامل اصلی ایجاد گود نشست در سطح زمین است. براساس پژوهش‌های لگاناتان در حفاری مکانیزه افت زمین در سه محدوده سینه‌کار، سپر و سگمنت یا بخش انتهایی اتفاق می‌افتد که این بخش‌ها در شکل ۲ نشان داده شده‌اند [۷].



شکل ۲. بخش‌های مختلف تشکیل‌دهندهٔ افت زمین [۷]

تعیین مقدار پارامترهای VL و k

لگاناتان عوامل اساسی تأثیرگذار بر مقدار افت زمین را عمدتاً شامل: روش حفاری، عمق و قطر تونل، شرایط آب زیرزمینی، شرایط تنفس‌های اولیه خاک، خصوصیات مقاومتی و تغییر شکل‌پذیری خاک معرفی می‌کند که در حقیقت می‌توان گفت وضعیت زمین‌شناسی مهندسی

۱. Volume Loss یا VL

حاکم بر مسیر تونل از عوامل اصلی تعیین‌کننده مقدار افت زمین هستند [۷]. پژوهش‌های گسترده‌ای در مورد تعیین مقدار عددی افت زمین انجام شده و محققان مختلف براساس شرایط زمین‌شناسی و ژئوتکنیکی مسیر تونل و مصالح دربرگیرنده آن و همچنین روش حفاری تونل و عوامل دیگر مقادیری را برای این پارامتر پیشنهاد کرده‌اند. به عنوان مثال می‌توان به پژوهش‌های گویلیمتی^۱ و همکاران (۲۰۰۸) اشاره کرد که براساس این پژوهش‌ها برای شرایطی که مصالح جبهه کار و روباره تونل مصالح خاکی باشند، بر حسب شرایط ژئوتکنیکی خاک، برای خاک‌های چسبنده مقدار VL را $0/8$ و برای خاک‌های دانه‌ای مقدار $1/0$ را پیشنهاد شده است [۸]. ملاحظه می‌شود که مقدار VL با چسبندگی خاک نسبت معکوس داشته و هر چه چسبندگی خاک بیش‌تر باشد، مقدار VL کمتری در حین حفاری تونل اتفاق می‌افتد. در جدول ۱ مقادیر پیشنهادی برای این پارامتر ارائه شده است.

k پارامتری تجربی است که مقدار آن به میزان زیادی وابسته به نوع خاک و خصوصیات ژئوتکنیک آن است. در ارتباط با این پارامتر نیز بررسی‌های نسبتاً زیادی انجام گرفته و محققان مختلف مقادیری را براساس نوع مصالح برای این پارامتر پیشنهاد کرده‌اند. به عنوان مثال گویلیمتی و همکاران مقدار k را برای خاک‌های چسبنده در دامنه $0/6 \sim 0/4$ و برای خاک‌های دانه‌ای و غیرچسبنده در دامنه $0/35 \sim 0/25$ پیشنهاد کرده‌اند [۸]. در جدول ۲ مقادیر ارائه شده برای این پارامتر ارائه شده است. با دقت در جدول مشخص می‌شود که رابطه مستقیمی بین این پارامتر و چسبندگی خاک وجود دارد.

عوامل مؤثر بر نشست (تغییر شکل یا جابه‌جایی) زمین در اثر حفر تونل

پارامترهای VL و k ، که از عوامل مهم تعیین‌کننده نشست زمین در اثر حفر تونل هستند، به مقدار زیادی به نوع مصالح و خصوصیات زمین‌شناسی مهندسی شان وابسته است. لیکا و نیو نشان دادند که نشست زمین در اثر حفر تونل به خصوصیات زمین‌شناسی مهندسی (شرایط زمین‌شناسی، ژئوتکنیکی و آب زمین‌شناسی)، عمق و هندسه تونل، روش احداث تونل و کیفیت محیط کار و مدیریت بستگی دارد [۹]. فرانزویس و همکاران در تحقیقات خود اثر آنیزوتropی و همچنین پارامتر K_0 را بر میزان نشست زمین در اثر حفر تونل به صورت توأم بررسی کرده‌اند [۱۰]. با غبان گلپسند و همکاران تأثیر سیمانی شدنگی آبرفت‌های تهران و نیز وجود حفره‌های

1. Guglielmetti

زیرزمینی مانند قنات‌های قدیمی را برنشت زمین در اثر حفر تونل خط هفت مترو تهران (قطعه شرقی-غربی) بررسی کرده و نشان دادند که سیمانی شدگی آبرفت‌های تهران باعث کاهش VL و در نتیجه کاهش نشست زمین در اثر حفر تونل شده است [۱۱].
جدول ۱. مقادیر مختلف VL پیشنهادی به وسیله محققان مختلف [۱۲]

مرجع استناد شده	روش حفاری	نوع خاک	VL مقدار (%)
O'Reilly and New (1982)	EPB دوغابی/ TBM	ماسه متراکم	۰/۲-۱
		رس نرم	۱-۲
		رس حاوی ماسه فراوان	۰/۵-۱
Leblais and Bochon (1991)	EPB TBM قطر ۹/۲۵ متر	ماسه ریزدانه متراکم در عمق ۲۲ تا ۵۲ متر	۰/۲-۰/۹
		ماسه ریزدانه متراکم ضخامت رویاره بین ۷/۲ تا ۴/۱	۰/۸-۱/۳
Ata A. A. (1996)	سپر دوغابی	ماسه متراکم تا متراکم متوسط زیر سطح ایستایی	۰/۲-۱
Mair (1996)	حفر تونل در مدد باز	رس سفت، (رس لندن)	۱-۲
	حفر تونل در مدد بسته یا سپر دوغابی (EPB)	رس نرم	۱-۲
	حفاری سنتی به همراه بتن پاشی	ماسه	۰/۵
		رس سفت (رس لندن)	۰/۵-۱/۵
Sugiyama et al. (1999)	برای تونل به TBM دوغابی قطر ۵/۸۵ متر	خاک‌های ماسه‌ای با چسبندگی پایین	۰/۸۵
		خاک‌های ماسه‌ای عمدتاً چسبنده	۰/۴۵-۰/۷۸
Guglielmetti et al. (2008)	EPB دوغابی/ TBM	(c=0) مصالح ماسه‌ای	۱
		(c>0) مصالح رسی	۰/۸
Loganathan (2011)	با استفاده از سپر/ EPB	مصالح رسی	۱/۱۵
Toan N. D. (2012)	حفر تونل در مدد بسته (یا سپر دوغابی) EPB	ماسه	< ۰/۵
		رس نرم	۱-۲
McCabe et al. (2012)	EPB دوغابی/ TBM	DBC*	۰/۲۱-۱/۶۶
Zhang et al. (2013)	با استفاده از سپر/ EPB	مصالح درشت‌دانه	۰/۷۸-۰/۹۶
Gui and Chen (2013)	حفاری تونل دوقلو با سپر D-O-T دوقلوی	(ML & CL) رس سیلتی	۰/۷۱
		ماسه حاوی رس و سیلت (SM & CL)	۱/۰۵-۱/۸۲

*رسوبات یخچالی سفت و خوب‌دانه‌بندی شده حاوی تقریباً ۳۵ درصد ذرات ریزدانه (مصالح ریزتر از ۰/۰۶ میلی‌متر)، قطعات سنگی درشت به همراه عدسی‌های ماسه‌ای و گراوی

جدول ۲. مقادیر پیشنهادی محققان مختلف برای تعیین k [۱۲]

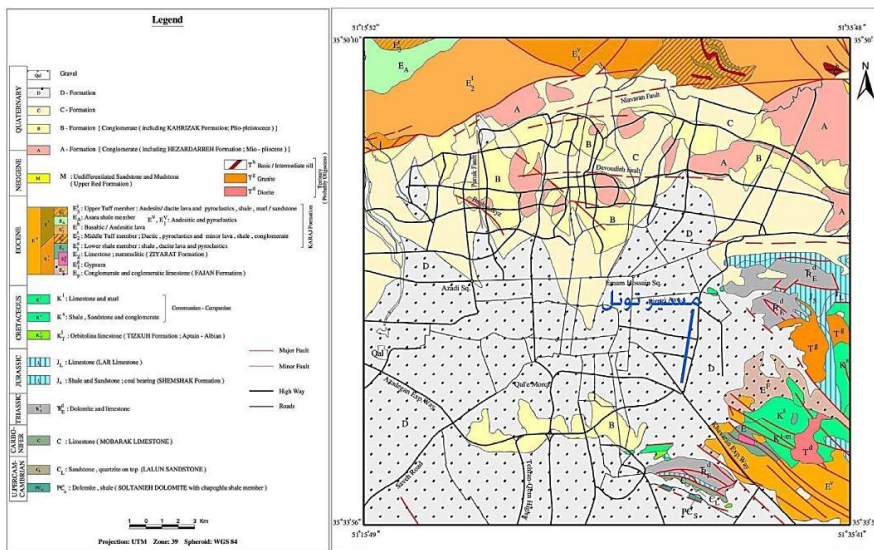
مرجع استناد شده	روش حفاری	نوع خاک	مقدار k
Guglielmetti et al. (2008)	EPB دوغایی/ TBM	(c=0) ماسه	۰/۳
		(c>0) رس	۰/۵
O'Reilly & New (1982)	مکانیزه-ستی	رس سفت شکافدار	۰/۴-۰/۵
	سپر-سپر با هوا فشرده	رسوبات یخچالی	۰/۵-۰/۶
	سپر-سپر با هوا فشرده	رس سیلتی نرم	۰/۶-۰/۷
	-	مصالح دانه‌ای بالای سطح آب	۰/۲-۰/۳
Farnghi et al. (2013)	بدون توجه به روش حفاری و قطر تونل	شن و ماسه	۰/۲-۰/۴۵
		خاک‌های رسی سفت	۰/۴-۰/۶
		رس نرم	۰/۶-۰/۷۵
Leca and New (2007)	مکانیزه - ستی	رس سفت و رس ماسه‌ای	۰/۵
		شن و ماسه با سفتی کم	۰/۲۵
Sugiyama et al. (1999)	برای تونل به TBM دوغایی قطر ۵/۸۵ متر	شن و ماسه	۰/۳۵
		خاک‌های پسینده	۰/۵

هم‌چنین با غبان گل‌پسند و همکاران با بررسی پروفیل زمین‌شناسی مهندسی مسیر تونل خط ۲ مترو تبریز اقدام به معرفی مقاطعی کردند که با توجه به ایجاد پدیده سینه‌کار مختلط (تناوب لایه‌های رسی و ماسه‌ای)، امکان بروز نشست غیرمجاز وجود دارد [۱۳]. ملاحظه می‌شود که خصوصیات زمین‌شناسی مهندسی مسیر تونل و مصالح موجود در آن یکی از مهم‌ترین عوامل مؤثر در میزان و نوع نشست زمین در اثر حفر تونل است. با توجه به گستردگی موضوع و فراوانی پژوهش‌هایی که در این ارتباط انجام شده است، برای رعایت اختصار از ادامه بررسی سوابق موضوع و مرور منابع قبلی صرف نظر کرده و به مباحث نشست زمین در اثر حفر تونل ابودر می‌پردازیم.

تونل ابودر در راستای حاشیه شرقی کanal ابودر واقع در خیابان ابودر حدفاصل بلوار ائمه اطهار تا شمال بزرگراه خاوران در سه راه افسریه در شرق تهران واقع شده است. طول این تونل حدود ۴۰۰۰ متر است و به صورت مکانیزه با دستگاه TBM حفاری شده است. قطر حفاری آن حدود ۴/۳۵ و قطر تمام شده آن حدود ۳/۷ متر است. با توجه به اندازه‌گیری و در دسترس بودن اطلاعات نشست واقعی زمین در ۵۰۰ متر ابتدایی تونل، در تحقیق حاضر این محدوده، بررسی شده است.

زمین‌شناسی و زمین‌شناسی مهندسی

دشت تهران و گسترهٔ پیرامون آن بهویژه آبرفت‌های آن را از دیدگاه‌های متنوع، افراد مختلفی تقسیم‌بندی کرده‌اند. ریبن در تحقیقات خود رسوبات جوان اطراف تهران را از نظر سن نسبی به چهار سازند D, C, B, A تقسیم کرده و آن‌ها را به ترتیب سازند هزاردره، سازند کهریزک، آبرفت تهران و آبرفت جدید (آبرفت هولوسن) نامیده است که در بین آن‌ها سازند A قدیمی‌ترین و سازند D جدیدترین سری محسوب می‌شوند [۱۴]. تقسیم‌بندی ریبن مبنا و اساس بررسی‌های بعدی در مورد آبرفت‌های تهران بوده است و تهیه نقشه‌های زمین‌شناسی گسترهٔ تهران با توجه به این تقسیم‌بندی انجام گرفته است. در شکل ۳ نقشهٔ زمین‌شناسی تهران و مسیر تونل روی آن نشان داده شده است [۱۵]. چنان‌چه ملاحظه می‌شود، مسیر تونل ابوذر در آبرفت‌های D سازند تهران قرار گرفته است. با توجه به نزدیکی مسیر تونل به ارتفاعات جنوب شرقی تهران (آن‌تی‌البرز) و ضخامت اندک آبرفت‌های D در این محدوده، احتمال برخورد مسیر تونل به واحدهای آبرفتی قدیمی نظیر آبرفت C وجود دارد. در جدول ۳ خصوصیات زمین‌شناسی گروه‌های چهارگانه آبرفت‌های موجود در گسترهٔ تهران نشان داده شده است. براساس این جدول از مهم‌ترین تفاوت‌های سازندهای C و D عبارت است از سیمانی‌شدگی سازند C و سیمانی‌نشدگی در سازند D که این مسئله همان‌گونه که بعداً اشاره می‌شود، تأثیر شگرفی بر مقدار نشست زمین در اثر حفر تونل ابوذر دارد. در محدودهٔ بررسی شده، رسوبات ریزدانه و درشت‌دانه به صورت توأم مشاهده می‌شوند اما همان‌گونه که قبلًا نیز ذکر شد، با توجه به قرار گرفتن مسیر تونل در مجاورت ارتفاعات جنوب شرق تهران، و این‌که رسوبات سازند D عموماً ضخامت کمی دارند (جدول ۳)، می‌توان گفت که مسیر تونل در رسوبات سازند C قرار گرفته است. برای ارزیابی خصوصیات زمین‌شناسی مهندسی مسیر تونل و مصالح موجود در آن، عملیات ژئوتکنیک در مراحل مختلف انجام شده و براساس نتایج حاصل، نیمرخ زمین‌شناسی مهندسی مسیر تونل ابوذر تهیه و در شکل ۴ نشان داده شده است. ملاحظه می‌شود که واحدهای خاکی موجود در مسیر تونل به چهار گروه مجزا تقسیم‌بندی شده‌اند، مبنای این تقسیم‌بندی در ادامه توضیح داده می‌شود.



شکل ۳. موقعیت مسیر تونل بر روی بخشی از نقشه تهران [۱۵]

تفکیک واحدهای خاکی

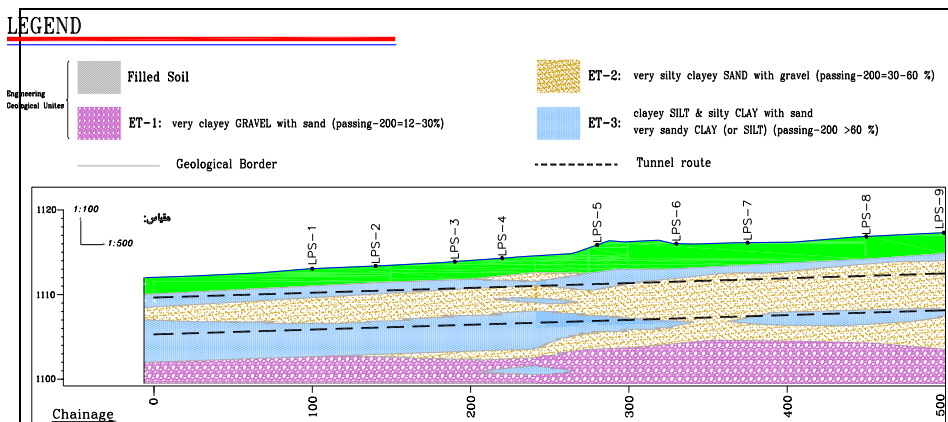
بر اساس پیشنهاد ITA (انجمن بین‌المللی تونل) و DAUB (کمیته سازه‌های زیرزمینی آلمان) یکی از مهم‌ترین فاکتورها برای تفکیک واحدهای خاکی، درصد ذرات ریزدانه (رد شده از الک) است [۱۸، ۱۹]. در این بررسی نیز درصد رد شده از الک ۲۰۰ به عنوان مبنای تفکیک واحدهای خاکی، قرار گرفته است. با در نظر گرفتن این عامل و عوامل دیگر لایه‌های خاکی دربرگیرنده مسیر تونل در محدوده بررسی شده به سه واحد زمین‌شناسی مهندسی^۱ با اسامی ET-1، ET-2 و ET-3 تفکیک شده‌اند. این واحدها در جدول ۴ معرفی شده‌اند. هم‌چنان موقعيت و گسترش واحدهای خاکی مذکور در مسیر تونل بر نیمرخ زمین‌شناسی مهندسی مسیر تونل (شکل ۴) نشان داده شده است. در جدول ۵ خصوصیات ژئوتکنیک واحدهای خاکی مذکور ارائه شده است.

مالحظه می‌شود که مسیر تونل ابوذر در واحدهای ET-2 و ET-3 جانمایی شده است. در ادامه خصوصیات هر یک از این واحدها را به‌طور خلاصه ذکر می‌کنیم.

1. Engineering geological Type

جدول ۳. خصوصیات زمین‌شناسی گروه‌های چهارگانه آبرفت‌های تهران [۱۶]

سازند				موضوع مقایسه
D	C	B	A	
۱۰۰۰۰ سال	۵۰۰۰۰ سال	۷۰۰۰۰۰ سال	۵ میلیون سال	سن
سیمانی نشده	سیمان ضعیف‌تر از A و سخت نشده	متغیر ولی عموماً دارای سیمانی شده و سخت شده	سیمانی شدن	سیمانی شدن
از حد رس تا قطعات سنگی بزرگ‌تر از ۱ متر	از حد رس و سیلت تا حد اکثر دانه به قطر ۲۰۰ میلی متر	بسیار متغیر با قطعات چند متری	از حد رس تا ۱۰۰ دانه‌ایی به قطر ۲۵۰ میلی متر	دانه‌بندی
افقی	افقی	به صورت دگرگشیب بر آبرفت A و دارای شیب کم‌تر از ۱۵ درجه	دارای شیب حد اکثر ۹۰ درجه	شیب لایه‌ها
کم‌تر از ۱۰ متر	حد اکثر ۶۰ متر	حد اکثر ۶۰ متر (به سمت جنوب کم می‌شود)	حد اکثر ۱۲۰۰ متر	ضخامت
سیلابی - رودخانه‌ای	سیلابی - رودخانه‌ای	یخچالی - سیلابی	سیلابی	حوضه رسوی



شکل ۴. نیمرخ زمین‌شناسی مهندسی مسیر تونل [۱۷]

واحد زمین‌شناسی مهندسی ET-1

این واحد خاکی در ردۀ خاک‌های درشت‌دانه قرار می‌گیرد و جنس آن عمدتاً از ماسهٔ شنی به همراه سیلت و رس و یا شن ماسه‌ای به همراه سیلت و رس تشکیل شده است. مقدار درصد رد شده از الک ۲۰۰ (سیلت و رس) در این واحد بین ۱۲ تا ۳۰٪ است. بخش‌های مختلف این

واحد طبق استاندارد USCS از نوع خاک‌های GM، GC، و واحد طبق استاندارد ET-2 هستند.

واحد زمین‌شناسی مهندسی ET-2

ذرات تشکیل‌دهنده این واحد خاکی از نظر دانه‌بندی در محدوده وسیعی قرار دارند و از ماسه‌رسی به همراه شن و شن‌رسی و سیلتی به همراه ماسه، هم‌چنین رس و سیلت ماسه‌ای تشکیل شده‌اند. درصد رد شده از الک ۲۰۰ (ذرات ریزدانه) آن بین ۳۰ تا ۶۰ درصد است. بنابراین مطابق با استاندارد USCS بخشی از منحنی‌های دانه‌بندی این واحد در گروه خاک‌های ریزدانه قرار می‌گیرد (CL و ML)، و بخش دیگری از آن در گروه خاک‌های دانه‌ای (GC، SC و SM) تقسیم‌بندی می‌شوند.

واحد زمین‌شناسی مهندسی ET-3

ذرات تشکیل‌دهنده واحد خاکی ET-3 عمده‌اً از سیلت و رس ماسه‌ای و رس به همراه ماسه تشکیل شده است. از نظر دانه‌بندی، مقدار درصد رد شده از الک ۲۰۰ (سیلت و رس) این واحد همواره بیشتر از ۶۰ درصد است. این واحد خاکی طبق استاندارد USCS در گروه خاک‌های CL و ML قرار می‌گیرد.

جدول ۴. مشخصات واحدهای زمین‌شناسی مهندسی تفکیک شده در مسیر تونل

واحد زمین‌شناسی مهندسی	ET-1	ET-2	ET-3
توصیف خاک	شن دارای رس زیاد همراه با همراه با کمی شن و یا رس یا رس دار همراه با کمی سیلت	سیلت رس زیاد همراه با همراه با کمی شن و یا رس یا رس دار همراه با کمی شن	ماسه دارای رس و سیلت فراوان ماسه

جدول ۵. مشخصات ژئوتکنیک واحدهای خاکی [۱۷]

Unit	C (kPa)	Φ (degree)	E (MPa)	v	γd (kN/m³)
Fill	۸	۲۰	۱۵	۰/۳۵	۱۷/۰
ET-1	۱۵	۳۵	۶۵	۰/۳	۱۹/۰
ET-2	۲۰	۳۰	۴۰	۰/۳۲	۱۸/۶
ET-3	۳۰	۲۵	۲۵	۰/۳۵	۱۸/۰

ارزیابی نشست زمین در اثر حفر تونل ابودر

در این بخش از تحقیق به بررسی نشست زمین در اثر حفر تونل می‌پردازیم. در این راستا نخست براساس نوع مصالح موجود در مسیر تونل اقدام به پیش‌بینی نشست شده و سپس نتایج حاصل با نشست‌های واقعی مقایسه می‌شود. براساس نیمرخ زمین‌شناسی مهندسی مسیر تونل می‌توان به پیش‌بینی نشست زمین در مقاطع مورد نظر که تحت عنوان مقاطع بحرانی نامیده می‌شوند، اقدام کرد. انتخاب مقاطع بحرانی براساس دستورالعمل و توصیه‌های (IAT ۲۰۰۰) انجام شده است [۱۸]. رازی‌فر و همکاران با استفاده از این استاندارد و بر اساس رواباره حداکثر و حداقل، خصوصیات ژئوتکنیکی مصالح، شرایط آب زیرزمینی، سازه‌های سطحی و زیرسطحی موجود در محدوده تونل، درجه اهمیت سازه‌های مذکور و ... نقاطی را برای بررسی نشست زمین در مسیر تونل خط هفت مترو تهران معین کرده و به عنوان مقاطع بحرانی در نظر گرفته‌اند [۲۰]. در مسیر تونل ابودر شرایط نسبتاً یکسانی از نظر توپوگرافی، شرایط آب زیرزمینی و بهویژه خصوصیات ژئوتکنیکی مصالح حاکم است و با توجه به کم بودن نسبی طول مسیر بررسی شده (حدود ۴۰۰ متر) و یکنواختی نسبی شرایط از نظر زمین‌شناسی، در تمام نقاطی که نشست واقعی در آن‌ها برداشت شده، پیش‌بینی نشست نیز انجام شده است. نقاط مذکور با علامت LPS-1 تا LPS-9 در نیمرخ زمین‌شناسی مهندسی نشان داده شده است.

پیش‌بینی نشست به روش تجربی

برای پیش‌بینی نشست زمین در این نقاط به روش تجربی، مقادیر پارامترهای VL و k براساس خصوصیات زمین‌شناسی مهندسی هریک از نقاط مورد نظر و براساس جداول ۱ و ۲ تخمین زده شده است. با توجه به همگن بودن نسبی مسیر تونل ابودر از نظر زمین‌شناسی مهندسی، مقادیر تقریباً مشابهی برای پارامترهای VL و k انتخاب شده و محاسبات مربوط با توجه به این پارامترها انجام شده است. نتایج این محاسبات در جدول ۶ و هم‌چنین به صورت نمودار ستونی در شکل ۵ و به صورت گردی‌های نشست در مقاطع عرضی در شکل ۶ نشان

داده شده است. مقادیر نشستهای پیش‌بینی شده در نقاط بررسی شده، در بازه ۱/۴۶ سانتی‌متر تا ۲/۱۰ سانتی‌متر متغیر است.

پیش‌بینی نشست به روش تحلیلی

این روش‌ها بر مبنای تحلیلهای ریاضی است و تغییر شکل ایجاد شده در زمین در اثر حفر تونل براساس تغییرات تنفس بررسی می‌شود. این روش‌ها عمدتاً فرضیاتی را در نظر می‌گیرند (مانند همگن بودن و تراکم‌ناپذیر بودن خاک) که در اغلب موارد غیرقابل دسترسی هستند. روش‌های متعددی در این ارتباط پیشنهاد شده است که می‌توان به روش‌های ورویت و بوکر [۲۱]، لگاناتان و پولوس [۲۲]، پارت [۲۳] و [۲۴] و ... اشاره کرد. در این پژوهش از روش لگاناتان و پولوس برای برآورده نشست استفاده شده است. در این روش که برای حالت زهکشی نشده استفاده می‌شود، میزان جابه‌جایی یک نقطه در سطح زمین براساس رابطه

(۳) محاسبه می‌شود:

$$S = \frac{(1-\vartheta)H}{H^2+x^2} (4gR + g^2) \exp \left[\frac{-1.38x^2}{(H \times \cot \varphi (45 + \frac{\varphi}{2}) + R)^2} \right] \quad (3)$$

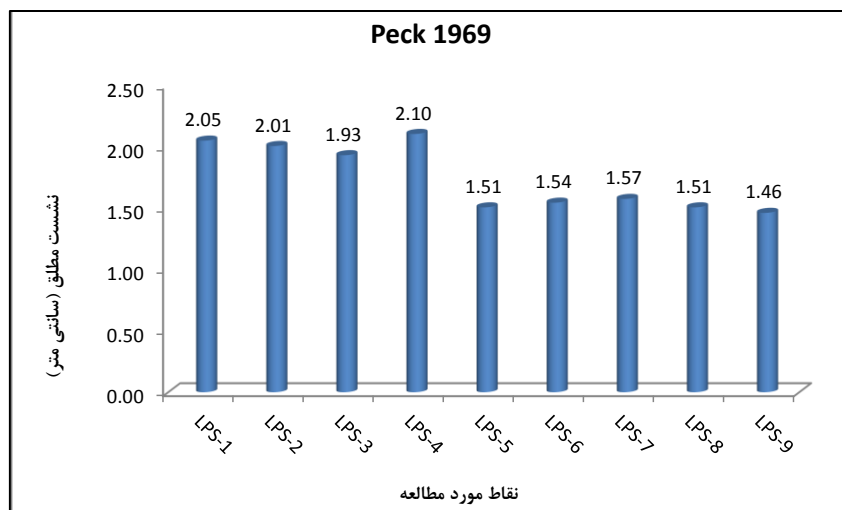
در این رابطه پارامترها عبارتند از:

x : فاصله افقی نقطه مورد نظر از محور تونل، R : شعاع تونل (فاصله سطح زمین تا محور)، ϑ : نسبت پواسون خاک، φ : زاویه اصطکاک داخلی خاک و g : پارامتر گپ (Gap) هستند.

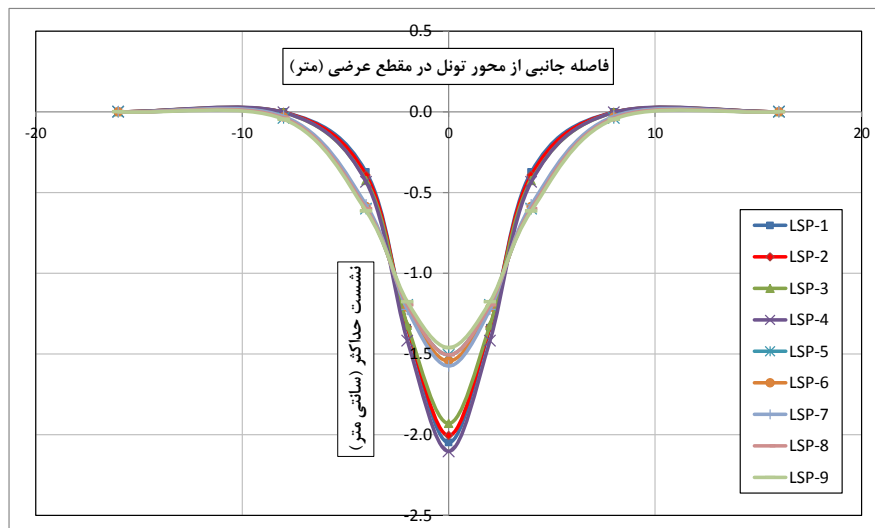
پارامتر گپ^۱ چنان‌چه قبل از اشاره شد، براساس خصوصیات هندسی سپر و لاینینگ تونل قابل تعیین است. در این پژوهش این پارامتر براساس ابعاد هندسی TBM و هم‌چنین توصیه‌های لی و همکاران [۲۵] به میزان $g=0.19m$ تعیین شده است. نشست زمین در اثر حفر تونل ابودر به روش تحلیلی و با توجه به اطلاعات موجود پیش‌بینی و نتایج آن در جدول ۷ و به صورت نمودارهای میله‌ای (نشان‌دهنده نشست حداقل) در شکل ۷ و به صورت گودی‌های نشست در مقاطع عرضی در شکل ۸ ارائه شده است. ملاحظه می‌شود که با فرض $g=0.19m$ مقادیر نشست تقریباً ۲ سانتی‌متر پیش‌بینی شده‌اند.

جدول ۶. ارزیابی نشست به روش نیمه تجربی برای تونل ابوذر [۱]

شماره نقطه	کیلومتر	واحد زمین‌شناسی مهندسي	پارامترهای مورد نیاز				حداکثر نشست پیش‌بینی شده (cm)
			$V_L(\%)$	k	$Z_0 (m)$	$i (m)$	
LPS-1	+100	ET-4 و ET-3	۰/۷۵	۰/۴۳	۵/۰۴	۲/۱۷	-۲/۰۵
LPS-2	+140	ET-4 و ET-3	۰/۷۵	۰/۴۳	۵/۱۵	۲/۲۱	-۲/۰۱
LPS-3	+190	ET-4 و ET-3	۰/۷۵	۰/۴۳	۵/۳۵	۲/۳۰	-۱/۹۳
LPS-4	+220	ET-4 و ET-3	۰/۸	۰/۴	۵/۶۳	۲/۲۵	-۲/۱۰
LPS-5	+280	ET-4 و ET-3	۰/۷۵	۰/۴۳	۶/۸۶	۲/۹۵	-۱/۵۱
LPS-6	+330	ET-4 و ET-3	۰/۷۵	۰/۴۳	۶/۶۹	۲/۸۸	-۱/۵۴
LPS-7	+375	ET-4 و ET-3	۰/۷۵	۰/۴۳	۶/۵۶	۲/۸۲	-۱/۵۷
LPS-8	+450	ET-4 و ET-3	۰/۷۵	۰/۴۳	۶/۸۶	۲/۹۵	-۱/۵۱
LPS-9	+500	ET-4 و ET-3	۰/۷۵	۰/۴۳	۷/۰۷	۳/۰۴	-۱/۴۶



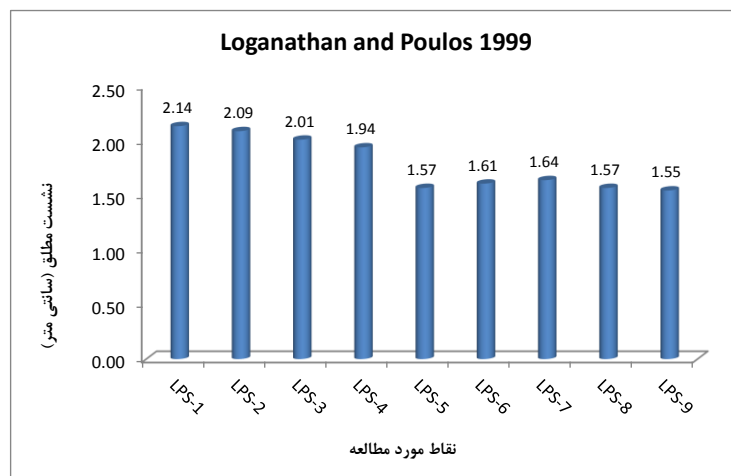
شکل ۵. نمودار ستونی نشستهای پیش‌بینی شده در مسیر تونل ابوذر [۱]



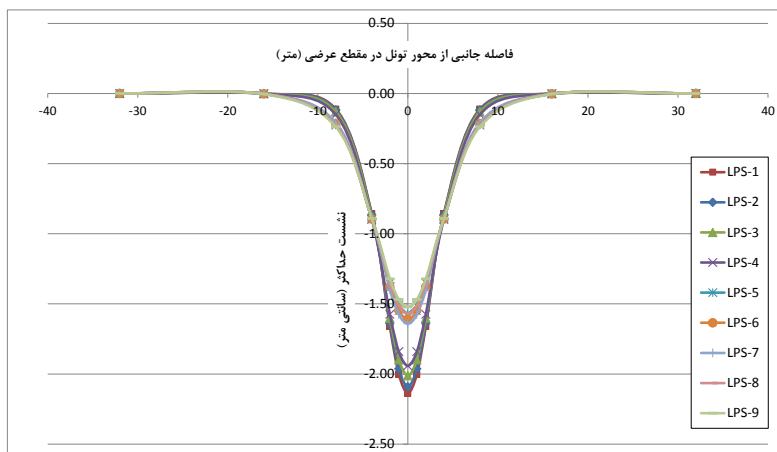
شکل ۶. منحنی های گودی نشست (پیش‌بینی شده) در مقاطع عرضی برای نقاط بررسی شده [۱]
جدول ۷. ارزیابی نشست به روش تحلیلی لگاناتان و پولوس [۲۲] با فرض $m = 0.19$ m و $g = 0.19$ m

$$R = 2175 \text{ m}$$

شماره نقطه	کیلومتر	واحد زمین‌شناسی مهندسي	پارامترهای مورد نیاز برای پیش‌بینی نشست			حداکثر نشست (Cm)
			$Z_0 (m)$	$\phi (^\circ)$	v	
LPS-1	+100	ET-4 و ET-3	5/04	19	0/35	-2/14
LPS-2	+140	ET-4 و ET-3	5/15	19	0/35	-2/09
LPS-3	+190	ET-4 و ET-3	5/35	19	0/35	-2/01
LPS-4	+220	ET-4 و ET-3	5/63	22	0/34	-1/94
LPS-5	+280	ET-4 و ET-3	6/86	19	0/35	-1/57
LPS-6	+330	ET-4 و ET-3	6/69	19	0/35	-1/61
LPS-7	+375	ET-4 و ET-3	6/56	19	0/35	-1/64
LPS-8	+450	ET-4 و ET-3	6/86	19	0/35	-1/57
LPS-9	+500	ET-4 و ET-3	7/07	20	0/34	-1/55



شکل ۷. نمودار ستونی نشت های پیش بینی شده در مسیر تونل ابوذر [۲۲]



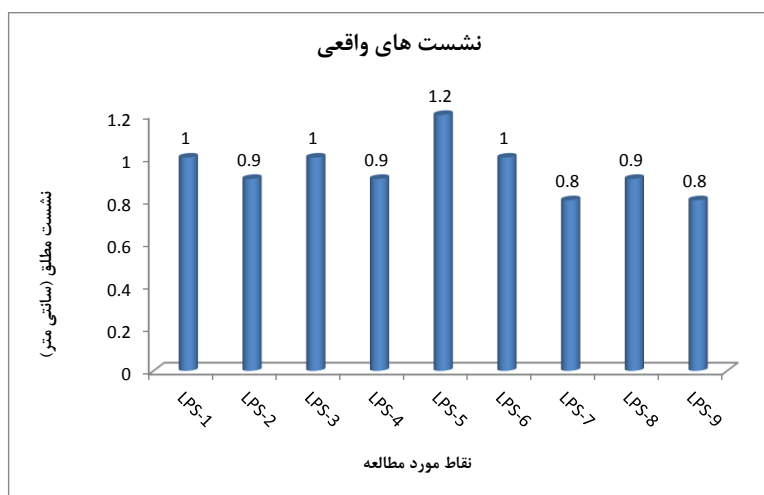
شکل ۸. منحنی های گودی نشت (ارزیابی شده به روش تحلیلی لگاناتان و پولوس [۲۲]) در مقاطع عرضی

نشست های واقعی (اندازه گیری شده)

در این پژوهش هم زمان با حفاری تونل ابوذر نشت زمین اندازه گیری و ثبت شده است.

در این راستا بر اساس توصیه های دانیکلیف و گرین نقاطی با علامت LPS-1 تا LPS-9 روی زمین مشخص شده و میزان جابه جایی قائم آنها با استفاده از ابزارهای دقیق و روش های

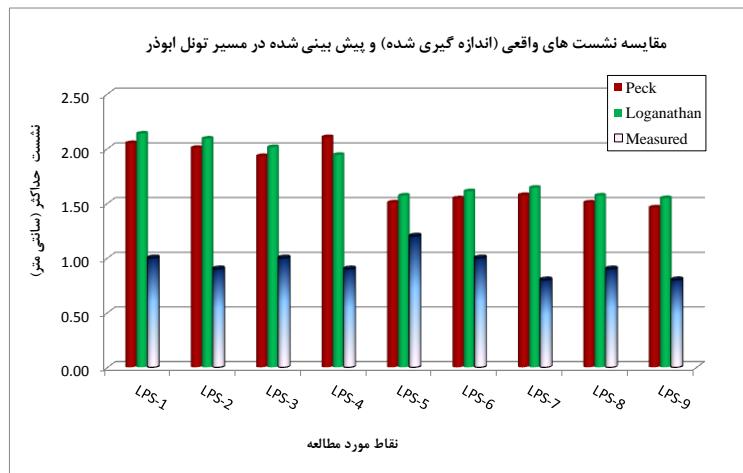
نقشه‌برداری اندازه‌گیری شده است [۲۶]. پس از اتمام عملیات حفاری و اندازه‌گیری میزان جابه‌جایی قائم (Leveling)، مقدار نشست نهایی (S_{max}) هر یک از نقاط مذکور ثبت و در شکل ۹ به صورت نمودار میله‌ای نشان داده شده است. ملاحظه می‌شود نشست‌های واقعی اندازه‌گیری شده در طول مسیر اکثراً در حدود ۱ سانتی‌متر هستند که به عنوان نشست‌های عادی زمین در نقاط مذکور تلقی می‌شوند. در شکل ۱۰ نشست‌های پیش‌بینی شده به روش‌های تجربی و تحلیلی به همراه نشست‌های واقعی در نموداری برای مقایسه ارائه شده‌اند. ملاحظه می‌شود که در حالت کلی نشست‌های واقعی کمتر از نشست‌های پیش‌بینی شده هستند. این موضوع در بخش بعدی بحث و بررسی می‌شود. شایان ذکر است که در پژوهش‌های حاضر با توجه به محدودیت‌های موجود، تنها پارامتر نشست حداکثر (S_{max}) بررسی شده است.



شکل ۹. نشست‌های واقعی اندازه‌گیری شده در حین حفاری تونل ابوزد [۲۷]

تحلیل نتایج

با توجه به شکل ۱۰ مشخص می‌شود که مقادیر نشست‌های اندازه‌گیری شده در شرایط عادی عموماً کمتر از نشست‌های پیش‌بینی شده هستند. در ارتباط با این موضوع، با توجه به ثابت بودن نسبی عوامل هندسی در بازه بررسی شده به نظر می‌رسد عدم هم‌خوانی موجود، در ارتباط با عوامل زمین‌شناسی است و پارامترهایی مانند VL و k که براساس نوع خاک و شرایط زمین‌شناسی مهندسی حاکم بر محیط تعیین می‌شوند، نیاز به بازنگری دارند.



شکل ۱۰. مقایسه نشست های پیش بینی شده و اندازه گیری شده در مسیر تونل ابوزر [۱۲]

پارامترهای مذکور در بخش های قبلی بر اساس نوع خاک و با توجه به جدول های ۱ و ۲ تعیین و مقادیر $k=0.43\sim 0.4/4\sim 0.8/0.75\%$ و $VL=0.5/0.4/0.3/0.2$ برای پیش بینی نشست زمین استفاده شدند. با توجه به این که تاکنون روش قطعی برای تعیین مقدار دقیق این پارامترها ارائه نشده است، در این مرحله و برای بررسی بیشتر مقادیر فرضی مختلفی برای این پارامترها در نظر گرفته شده و نشست زمین بر اساس مقادیر فرضی مذکور ارزیابی شده است. در این ارتباط سعی شده است تا اولاً مقادیر فرضی در بازه پیشنهادی برای پارامترهای مذکور از سوی محققان مختلف انتخاب شود (جدول های ۱ و ۲). ثانیاً تغییرات پارامترهای فرضی روند یکسانی داشته باشد. بر این اساس مقادیر زیر برای پارامترهای VL و k فرض شده و نشست زمین ارزیابی شد:

$$VL = 0.3\%, 0.6\%, 0.9\%, 1.2\%, 1.5\%, 1.8\% \quad k = 0.6, 0.5, 0.4, 0.3, 0.2$$

نتایج این ارزیابی ها به صورت نمودارهای ستونی در نمودارهای موجود در شکل ۱۱ ارائه شده است. ملاحظه می شود که با توجه به مقادیر مختلف فرضی برای دو پارامتر VL و k مقادیر متفاوت و متنوعی از حدود $0.4/0$ تا حدود 11 سانتی متر برای نشست حداکثر زمین (S_{max}) به دست آمده است.

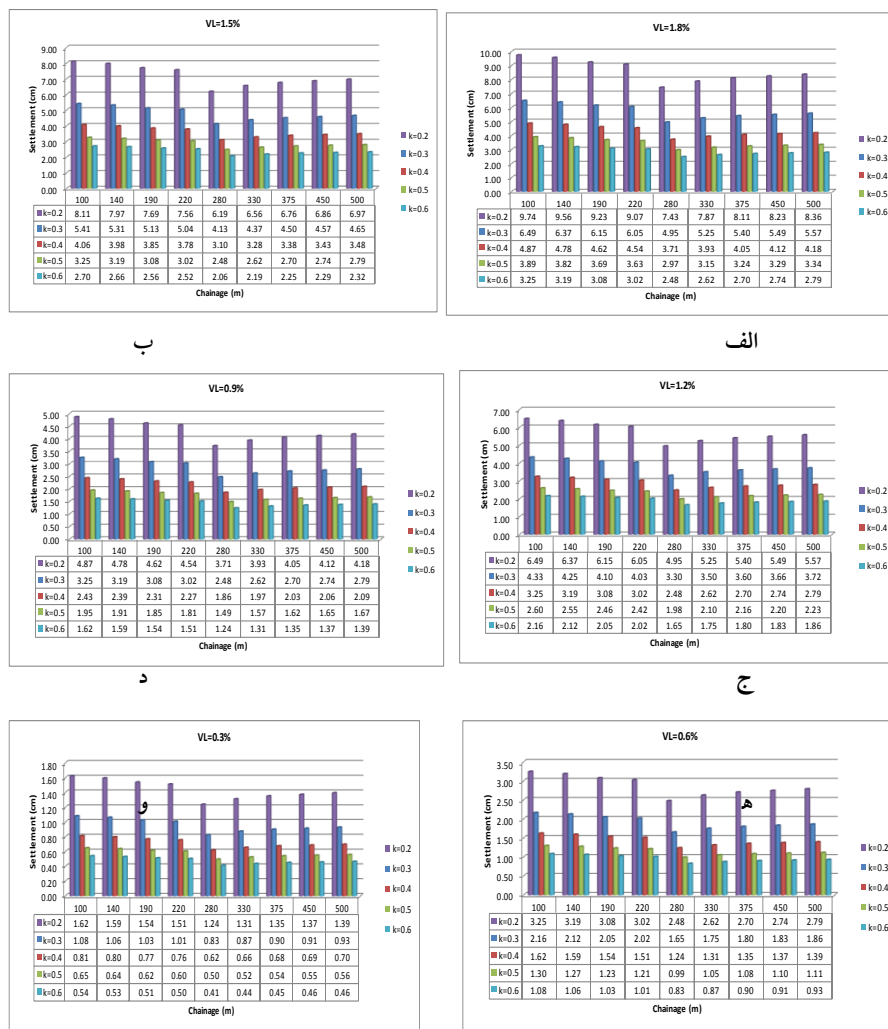
در مرحله بعد لازم است تا تغییرات نشست بر حسب تغییرات هر کدام از دو پارامتر VL و k ارزیابی شود. بدین منظور رابطه (۲) بار دیگر استفاده شده و آهنگ تغییرات نشست زمین با تغییر پارامترهای مذکور برای تک تک نقاط بررسی شده در مسیر تونل ابوذر تعیین شده است. به دلیل اختناب از شلوغی بیش از حد اشکال، برای نمونه در دو نقطه (LPS-1) و (LPS-9) که بیشترین و کمترین روباره را دارند، ترسیم شده و در نمودارهای شکل ۱۲ نشان داده شده است. چنان‌که در این نمودارها مشاهده می‌شود، روند تغییرات پارامترهای مذکور یکسان نیست. این مسئله با توجه به روابط ریاضی موجود بین پارامترهای مذکور و نشست حداکثر زمین (S_{max})، قابل توجیه است. پارامتر VL رابطه مستقیم با نشست حداکثر دارد. بنابراین روند تغییراتش نیز خطی است (شکل ۱۲ الف و ب) ولی پارامتر k رابطه معکوس با نشست حداکثر زمین (S_{max}) دارد و بنابراین روند تغییراتش نیز غیرخطی است (شکل ۱۲ ج و د). بدیهی است که تفاوت در مقادیر نشست حداکثر برای دو نقطه مذکور به دلیل تفاوت در ضخامت روباره (Z_0) ایجاد شده است اما چنان‌که ذکر شد روند تغییرات میزان نشست حداکثر برای هر دو دو نقطه مذکور مشابه است.

مقدار واقعی افت زمین (VL) و تأثیر عوامل زمین‌شناسی بر آن

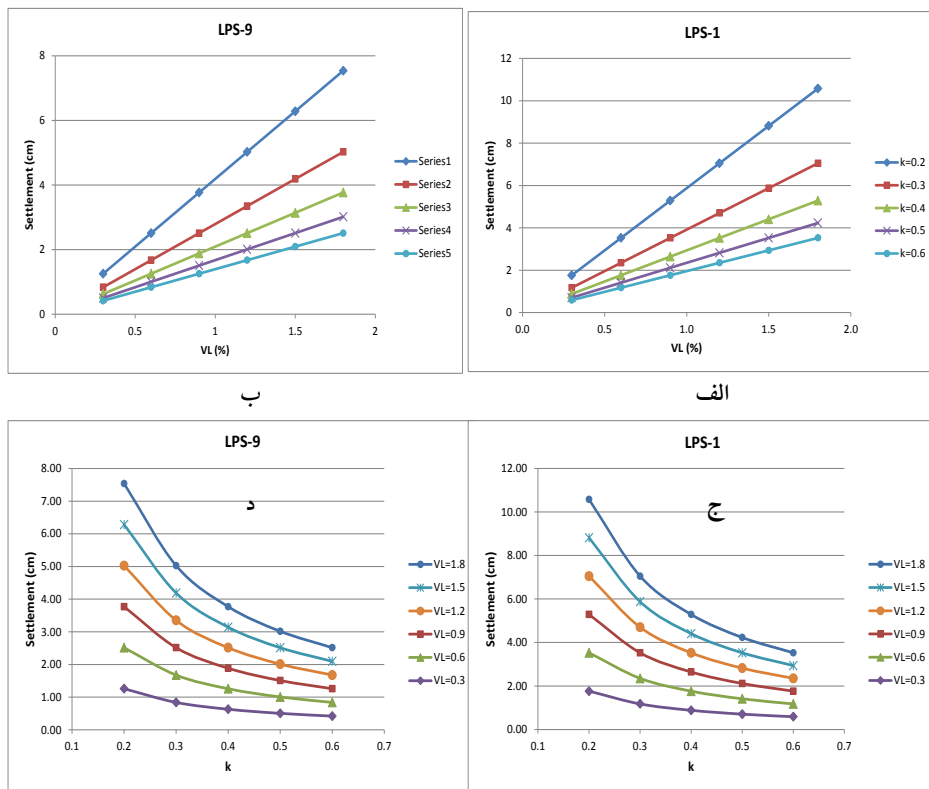
تاکنون روش قطعی برای تعیین مقدار دقیق VL ارائه نشده و تنها براساس نوع مصالح و خصوصیات زمین‌شناسی و ژئوتکنیکی آن‌ها، بازه‌هایی برای این پارامتر پیشنهاد شده است که برای پیش‌بینی نشست مذکور استفاده می‌شود. در این بخش از تحقیق با توجه به در دسترس بودن مقادیر نشست واقعی رخ داده در مسیر تونل ابوذر و بر اساس مباحثی که در بخش‌های قبلی به آن‌ها اشاره شده است، مقدار واقعی این پارامتر تخمین زده می‌شود.

بدین منظور لازم است تا به نمودارهای شکل ۱۰ بار دیگر توجه شود. در این نمودار مقادیر نشست واقعی زمین به همراه مقادیر پیش‌بینی شده نشان داده شده‌اند. با مقایسه این مقادیر مشخص می‌شود که نشست‌های واقعی (اندازه‌گیری شده) کمتر از نشست‌های پیش‌بینی شده‌اند و عمدها در حدود $S_{max}=1\text{cm}$ هستند. بنابراین می‌توان گفت که در مورد خاک‌های موجود در مسیر تونل ابوذر، یکی از دو حالت زیر و یا هر دو آن‌ها توأمً اتفاق افتاده است: الف) مقدار VL واقعی کمتر از مقدار پیش‌بینی شده است. ب) مقدار k واقعی بیشتر از مقدار پیش‌بینی شده است.

برای ارزیابی مقدار واقعی پارامترهای VL و k مقدار نشست واقعی $S_{max}=1\text{cm}$ را به عنوان مبنا در نظر گرفته و با استفاده از نمودارهای موجود در شکل ۱۱ مقادیری از VL و k که متجه به نشست در حدود $S_{max}=1\text{cm}$ شده‌اند، انتخاب می‌شوند. چنان‌چه در نمودارهای موجود در این شکل نیز مشخص است مقدار نشست مذکور مربوط به $VL=0.6\%$ و $VL=0.3\%$ هستند (شکل ۱۱ه و و). بنابراین می‌توان گفت $VL \leq 0.6\%$ خواهد بود.



شکل ۱۱. نمودار نشستهای حداکثر پیش‌بینی شده بر اساس مقادیر VL و k فرضی [۱۲]



شکل ۱۲. روند تغییرات میزان نشست حداکثر با تغییر پارامترهای k و VL [۱۲]

با توجه به رابطه (۲) لازم است به تأثیر پارامتر k نیز اشاره شود. با توجه به نوع مصالح موجود در مسیر تونل ابودر، مقدار این پارامتر براساس توصیه‌های محققان مختلف در بازه $۰/۴\sim۰/۴۳$ تعیین شده است و مقدار نشست زمین بر آن اساس پیش‌بینی شد. قبلاً یادآوری شد که این پارامتر نسبت مستقیم با چسبندگی خاک دارد. با توجه به پایین بودن نشست‌های واقعی نسبت به نشست‌های پیش‌بینی شده به نظر می‌رسد k واقعی بیشتر از مقدار تعیین شده باشد. از اینجا می‌توان نتیجه گرفت که عاملی در جهت افزایش چسبندگی خاک و به تبع آن افزایش مقدار k دخیل بوده است و بنابراین مقدار k نمی‌تواند کمتر از مقدار در نظر گرفته شده ($k=۰/۴۲$) باشد. نکته جالب در این ارتباط این است با دقت در نمودارهای شکل ۱۲ ج و د مشخص می‌شود که براساس رابطه غیرخطی بین مقدار k و نشست حداکثر (S_{max})، با تغییر

مقدار k از میزان پیش‌بینی شده ($k=0/43$) تا حدود ($k=0/5$) و حتی ($k=0/6$) تغییر قابل توجهی در میزان نشست نخواهد داشت. بنابراین با اطمینان کافی می‌توان مقدار $k=0/43\sim0/4$ را پذیرفت. با مشخص شدن مقدار این پارامتر، می‌توان با استفاده از رابطه (۲) مقدار پارامتر افت زمین را در بازه $VL=0/62\sim0/36$ تأیید کرد. ملاحظه می‌شود که مقدار VL واقعی کمتر از مقدار فرض شده برای این پارامتر از روی جدول ۱ است.

بررسی تأثیر چسبندگی

قبلًا توضیح داده شد که هر دو پارامتر VL و k با خصوصیات رئوتکنیکی خاک بهویژه چسبندگی در ارتباط است. به طوری که در جداول های ۱ و ۲ ذکر شد، VL نسبت معکوس با چسبندگی و k نسبت مستقیم با آن دارد. کم بودن مقدار VL واقعی اتفاق افتاده برای مصالح موجود در مسیر تونل ابودر، حاکی از زیاد بودن چسبندگی مصالح است و به عبارت دیگر می‌توان گفت که با وجود دانه‌ای بودن، این مصالح چسبندگی نسبتاً زیادی داشته و یا این که عاملی باعث افزایش چسبندگی در مصالح مذکور شده است.

در این باره مسئله سیمانی شدگی طبیعی در آبرفت‌های تهران می‌تواند تأییدی بر فرضیه مذکور است. با غبان گل‌پسند و همکاران سیمانی شدگی طبیعی در مصالح موجود در مسیر تونل خط هفت مترو تهران (قطعة شرقی- غربی) را بررسی و نتیجه‌گیری کرده‌اند که این پدیده باعث کاهش نشست زمین در اثر حفر تونل مذکور شده است [۱۱]. قبلًا ذکر شد که مسیر تونل ابودر در آبرفت‌های C قرار گرفته و سیمانی شدگی طبیعی این سازند یکی از فاكتورهای مهم در کنترل خصوصیات مهندسی این سازند است. به عبارت ساده‌تر سیمانی شدگی در آبرفت‌های سازند C باعث افزایش چسبندگی در مصالح مذکور شده و در حقیقت به عنوان عاملی برای کاهش VL است که در نهایت منجر به این شده است که نشست واقعی کمتر از نشست پیش‌بینی شده باشد. برای بررسی این موضوع لازم است تا تفاوت در نتایج آزمایش‌های آزمایشگاهی (سه محوری و برش مستقیم) و آزمایش‌های صحرایی (برش بر جا) دوباره بررسی شوند. نتایج این آزمایش‌ها بر حسب محل نمونه‌برداری و همچنین موقعیت انجام تست بر جا در جدول ۸ ارائه شده است. براساس آزمایش‌های برش بر جا چسبندگی خاک در حدود

برش مستقیم در محدوده $۱۶\sim ۸ \text{ kPa}$ پیشنهاد کرده است.

اما آزمایش سه‌محوری مقدار این پارامتر را در محدوده $۴۰\sim ۱۰ \text{ kPa}$ و آزمایش

با دقت در نتایج حاصل می‌توان تأثیر سیمانی شدگی طبیعی در خاک را در اختلاف بین پارامترهای مقاومت برشی حاصل از آزمایش‌های صحرایی و آزمایشگاهی مشاهده کرد. به عبارت ساده‌تر سیمانی شدگی طبیعی آبرفت‌های گروه C (که براساس اطلاعات قبلی عمدتاً از جنس رس است) در هنگام آزمایش برش بر جا در بین ذرات خاک وجود داشته و بهمین دلیل چسبندگی نسبتاً زیادی از این آزمایش به دست آمده است. ولی به علت از بین رفتن سیمان مذکور در طی فرایند نمونه‌برداری، حمل و نقل و عملیات آزمایش‌های آزمایشگاهی (که با عنوان کلی دست‌خوردگی نمونه‌ها از آن یاد می‌شود)، چسبندگی کمی برای مصالح براساس آزمایش‌های آزمایشگاهی حاصل شده است. بنابراین اختلاف بین پارامترهای مقاومتی حاصل از آزمایش‌های صحرایی و آزمایشگاهی به عنوان شاهدی بر سیمانی شدگی طبیعی و در نتیجه قرار گرفتن مسیر تونل‌های بررسی شده در آبرفت‌های C قلمداد می‌شود.

جدول ۸. مقایسه نتایج آزمایش‌های آزمایشگاهی و صحرایی [۱۷]

آزمایش‌های آزمایشگاهی				آزمایش‌های بر جا		عمق (متر)	کیلومتر		
سه محوری		برش مستقیم		برش بر جا					
$\phi (\circ)$	c (kPa)	$\phi (\circ)$	c (kPa)	$\phi (\circ)$	c (kPa)				
				۳۳	۲۰	۱~۳	۰+۰۰۰		
۲۵	۳۰			۲۲	۴۰	۶~۸	۰+۲۴۵		
				۳۵	۱۹	۲~۴	۰+۵۰۰		
۲۲	۱۰					۱~۳	۰+۰۰۰		
۱۵	۱۷					۱~۳	۰+۲۴۵		
۱۸	۱۶					۱~۳	۰+۵۰۰		
۲۰	۲۰			۲۸	۴۵	۸~۱۰	۰+۵۰۰		
		۲۸	۸			۳~۵	۰+۰۰۰		
		۱۸	۱۶			۳~۵	۰+۰۰۰		
		۳۰	۱۲			۳~۵	۰+۲۴۵		
		۳۰	۱۵			۳~۵	۰+۵۰۰		

لازم به ذکر است که در ارتباط با کم بودن VL واقعی اتفاق افتاده در مسیر تونل ابوذر باید به مسائلی مانند قطر نسبتی^۱ کم تونل ابوذر و همچنین عمل کرد فرایندهایی مانند فشار جبهه کار و فشار تزریق، که همگی به عنوان فاکتوری برای ممانعت از همگرایی کامل دیواره تونل و در نتیجه کاهش VL عمل می‌کند، توجه شود.

نتیجه‌گیری

در این پژوهش نشست زمین در اثر حفر تونل ابوذر بررسی شده و تأثیر عوامل زمین‌شناسی مهندسی بر آن بررسی شد. در فرایند پیش‌بینی نشست زمین به روش تجربی، یکی از عوامل مؤثر بر مقدار و نوع نشست زمین تعیین پارامترهای تجربی مانند VL و k ذکر شده است که عمده‌تاً به خصوصیات زمین‌شناسی مهندسی مصالح موجود در مسیر تونل بستگی دارند. برای انجام این تحقیق در گام نخست مقدار پارامترهای مزبور براساس مقادیر پیشنهادی محققان مختلف فرض شده و نشست زمین براساس VL و k های مذکور به روش تجربی و همچنین به روش تحلیلی پیش‌بینی شد. سپس نشستهای پیش‌بینی شده با نشستهای واقعی مقایسه شده و با توجه به کم بودن نشستهای واقعی نسبت به نشستهای پیش‌بینی شده، نتیجه گرفته شد که مقدار VL واقعی کمتر از مقدار پیش‌بینی شده است. در این ارتباط براساس نشستهای واقعی اندازه‌گیری شده در مسیر تونل، مقدار VL واقعی اتفاق افتاده در مسیر تونل ابوذر، در بازه $0.62 \sim 0.76$ $VL =$ تخمین زده شد. با توجه به ارتباط تنگاتنگ این پارامترها با خصوصیات زمین‌شناسی مهندسی خاک به ویژه چسبندگی، نتیجه گرفته شده عاملی در جهت افزایش مقدار چسبندگی خاک عمل کرده است. براساس خصوصیات زمین‌شناسی و زمین‌شناسی مهندسی آبرفت C تهران، نتیجه گرفته شد که سیمانی شدگی مصالح در این سازند، عامل اصلی در افزایش چسبندگی و در نتیجه کاهش VL بوده و بنابراین باعث کاهش نشست زمین در اثر حفر تونل ابوذر شده است. برای بررسی پدیده سیمانی شدگی مصالح موجود در مسیر تونل، به نتایج آزمایش‌های برجا و آزمایشگاهی برای تعیین پارامترهای مقاومت برشی توجه شده است.

زیاد بودن چسبندگی حاصل از آزمایش‌های برش بر جا نسبت به چسبندگی حاصل از آزمایش‌های آزمایشگاهی به عنوان شاهدی برای سیمانی شدن مصالح معروفی شد.

تقدیر و تشکر

از مؤسسهٔ مهندسین مشاور ساحل به دلیل در اختیار گذاشتن اطلاعات مربوط به نشست زمین در اثر حفاری تونل ابوذر تشکر و قدردانی می‌شود.

منابع

1. Peck R.B., "Deep excavation and tunneling in soft ground", Proc. Of the 7th int. Conference on soil Mechanics and Foundation Engineering" State of the art Volume. Sociedad Mexicanan de Mecanica de Suelos, A. C. (1969) 225-290.
2. Franzius J.N., "Behaviour of buildings due to tunnel induced subsidence", Department of Civil and Environmental Engineering. Imperial College of Science, Technology and Medicine. London, SW7 2BU. (2003).
3. O'Reilly M.P., New B.M., "Settlements above tunnel in the united kingdom- their magnitude and prediction", Tunnelling 82. The Institution of Mining and Metallurgy, London (1982).
4. Attewall P.B., Woodman J. P., "prediction the dynamics of ground settlement and its derivatives caused by tunneling in soil", Ground Engineering, 15 (7) (1982).
5. Attewall P.B., Yeates. J., Selby A.R., "Soil movement induced by tunneling and their effects on pipelines and structures", London., Blackie and Son Ltd (1986).
6. Mair R.J., Taylor R.N., Bracegirdle A., "Subsurface settlement profiles

- above tunnels in clays", Geotechnique 43, No. 2 (1993) 315-320.
7. Loganathan N., "An Innovative Method For Assessing Tunnelling-Induced Risks To Adjacent Structures", PB 2009 William Barclay Parsons Fellowship Monograph 25. Parsons Brinckerhoff Inc (2011).
 8. Guglielmetti V., Grasso P., Mahtab A., Xu S., "Mechanized Tunnelling in Urban Areas-Design methodology and construction control", Geodata S.p.A., Turin, Italy;:CRC Press (2008).
 9. Leca E., New B., "Settlements induced by tunneling in Soft Ground", Tunnelling and Underground Space Technology, vs.22, (2007) 119-149. (ITA/AITES Report 2006).
 10. Franzius J.N., Potts D.M., Burland J. B., "The influence of soil anisotropy and K0 on ground surface movement resulting from tunnel excavation", Geotechnique vol:55 no.3 (2005) 189-199.
 11. Golpasand M.B., Nikudel M.R., Uromeihy A. "Effect of Engineering Geological Characteristics of Tehran's Recent Alluvia on Ground Settlement Due to Tunneling", Geopersia 4 (2) (2014) 185-199.
 12. باغبان گل پسند م., ارزیابی تأثیر خصوصیات زمین‌شناسی مهندسی مصالح بر میزان نشست زمین در اثر حفر تونل‌های کم عمق در مناطق شهری، رساله دکتری زمین‌شناسی مهندسی، دانشگاه تربیت مدرس. به راهنمایی دکتر محمدرضا نیکودل (۱۳۹۴).
 13. Golpasand M.B., Nikudel M.R., Uromeihy A., "Predicting the occurrence of mixed face conditions in tunnel route of Line 2 Tabriz metro, Tabriz, Iran", Global View of Engineering Geology and the Environment (Proceeding of 19th Asian Regional Conference of IAEG) (2013) 487-492.

14. Rieben E.H., "Geological observations on alluvial deposits in norther", Geological Survey of Iran. Rep. No. 9 (1966).
۱۵. جعفری م.، گزارش ریزپنه‌بنادی لرزه‌ای شمال تهران از دیدگاه شرایط ساختگاه، پژوهشگاه بین‌المللی زلزله‌شناسی و مهندسی زلزله (۱۳۸۱).
۱۶. چشمی ا.، مطالعه خواص مکانیکی آبرفت درشت‌دانه تهران براساس ترکیب زمین‌شناسی و آزمایش‌های مکانیکی، رساله دکتری زمین‌شناسی مهندسی، دانشگاه تربیت مدرس (۱۳۸۵).
۱۷. مؤسسه مهندسین مشاور ساحل، مطالعات زمین‌شناسی مهندسی مسیر تونل کمکی کاتال ابوروز، (۱۳۹۰).
18. I.T.A. Working Group No. 2. (ITA), "Guidelines for the design of shield tunnel lining", Tunneling Underground Space Technology.15(3) (2000) 303-331.
19. DAUB (Deutscher Ausschuss für unterirdisches Bauen), "Recommendations for selecting and evaluating tunnel boring machines", Tunnel 5 (97), (1997) 20-35.
۲۰. رازی فر م.، حسینی م.، هاشمی س.، تخمین میزان نشست سطح زمین ناشی از حفر تونل قطعه شرقی-غربی خط هفت متروی تهران، زمین‌شناسی مهندسی (مجله انجمن زمین‌شناسی مهندسی ایران)، جلد سوم، شماره ۳ و ۴ (۱۳۸۹) ۷۱-۸۷.
21. Verruijt A., Booker J.R., "Surface Settlement due to Deformation of a Tunnel in an Elastic Half Plane", Geotechnique, 46(4) (1996) 753-757.
22. Loganathan N., Poulos H.G., "Tunneling Induced Ground Deformation and their Effect on Adjacent Piles", Proceeding of 10th Australian Tunneling Conf., (1999) 1-34.
23. Bobet A., "Analytical Solutions for Shallow Tunnels in Saturated Ground", J. Eng.Mech. Div. ASCE 127 (12) (2001) 1258-1266.

24. Park H.H., "Analytical Solution for Tunnelling-Induced Ground Movement in Clays", *Tunnelling and Underground Space Technology* 20, (2005) 249-261.
25. Lee K.M., Rowe R.K., Lo K.Y., "Subsidence owing to tunnelling. I. Estimating the gap parameter", *Canadian Geotechnical Journal*, Vol. 29, No. 6 (1992) 929-940.
26. Dunnclif J. and Green G.E., "Geotechnical instrumentation for monitoring field performance", John Wiley and Sons Inc., United State (1988).

۲۷. مؤسسه مهندسین مشاور ساحل، گزارش فعالیت‌های مهندسی کارگاهی (۱۳۹۱).